

旋转壳对称载荷有限元应力分析的系数配置法

何自信

(航天部四院 41 所,西安)

提要 本文用有限元系数配置法分析轴对称旋转壳,计算时不需坐标转换,对各种类型的壳体元素统一采用同一组基本公式协调求解,算法简单,精度高,可用于圆柱壳,圆锥壳,平法兰等工程上常用的旋转壳结构。由于在协调求解中可插入解析公式,便于处理螺栓连接,结合裙等不连续结构。本法是在文献[1]基础上改进而成。

关键词 旋转壳,有限元,系数配置法。

1. 基本公式

图 1(a) 表示一般形状的旋转壳的几何参数和内力,图 1(b) 表示变形时的位移和转角。

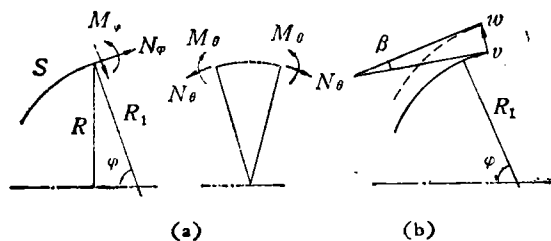


图 1

按图可以算出

$$\text{径向位移 } \delta_y = v \cos \varphi + w \sin \varphi \quad (1-1)$$

$$\text{轴向位移 } \delta_x = v \sin \varphi - w \cos \varphi \quad (1-2)$$

$$\text{径向内力 } P_y = N_\varphi \cos \varphi - Q_\varphi \sin \varphi \quad (1-3)$$

$$\text{轴向内力 } P_x = N_\varphi \sin \varphi + Q_\varphi \cos \varphi \quad (1-4)$$

变形时的几何关系:

$$\text{转角 } \beta = \frac{dw}{ds} - \frac{v}{R_1} \quad (1-5)$$

$$\text{应变 } \varepsilon_\varphi = \frac{dv}{ds} + \frac{w}{R_1} \quad (1-6)$$

$$\varepsilon_\theta = \frac{\delta_y}{R} \quad (1-7)$$

$$\text{曲率变化 } K_\varphi = \frac{d\beta}{ds} \quad (1-8)$$

$$K_\theta = \frac{\cos \varphi}{R} \beta \quad (1-9)$$

内力与应变之间的物理关系是:

$$N_\varphi = G(\varepsilon_\varphi + \mu \varepsilon_\theta) \quad (2-1)$$

$$N_\theta = G(\varepsilon_\theta + \mu \varepsilon_\varphi) \quad (2-2)$$

$$M_\varphi = D(K_\varphi + \mu K_\theta) \quad (2-3)$$

$$M_\theta = D(K_\theta + \mu K_\varphi) \quad (2-4)$$

$$\text{式中, } G = \frac{Eh}{1 - \mu^2}, \quad D = \frac{Eh^3}{12(1 - \mu^2)}.$$

以母线弧长 s 为参数,平衡方程为

$$\begin{aligned} \frac{dN_\varphi}{ds} + (N_\varphi - N_\theta) \frac{\cos \varphi}{R} \\ - \frac{Q_\varphi}{R_1} = -p_\varphi \end{aligned} \quad (3-1)$$

$$\begin{aligned} \frac{dQ_\varphi}{ds} + \frac{Q_\varphi \cos \varphi + N_\theta \sin \varphi}{R} \\ + \frac{N_\varphi}{R_1} = p_r \end{aligned} \quad (3-2)$$

$$\frac{dM_\varphi}{ds} + (M_\varphi - M_\theta) \frac{\cos \varphi}{R} = Q_\varphi \quad (3-3)$$

式中 p_φ 和 p_r 分别为单位面积上的母线方向载荷和法向载荷。

2. 计算步骤

系数配置法的原理是计算时把壳体分成有限个元素,在每一个元素内以母线长度 s 为参数,用一个包含若干待定系数的位移函数表示假定的位移,然后根据上述基本公式,利用平衡条件、连续条件、边界条件列方程式求解、配置这些系数,就可求得真正的位移表达式,进而可算内力和应力。具体步骤如下:

2.1 假定位移函数

$$v = K_1 + K_2 s + K_3 s^2 + K_4 \cdot$$

$$\begin{cases} s^3 + K_5 s^4 (\varphi \neq 0 \text{ 或 } R_1 \text{ 为有限值时}) \\ \frac{1}{R} \quad (\varphi = 0 \text{ 且 } R_1 \text{ 为 } \infty \text{ 时}) \end{cases} \quad (4-1)$$

$$\omega = (K_1 \ln R \text{ 当 } \varphi = 0 \text{ 且 } R_1 \text{ 为 } \infty \text{ 时}) \\ + K_6 + K_7 s + K_8 s^2 + K_9 s^3 \\ + K_{10} s^4 + K_{11} s^5 \quad (4-2)$$

式中, K_1, K_2, \dots, K_{11} 为待定系数; s 为元素的母线长度。

2.2 利用位移函数求基本公式中有关量的微分和表达式,并用矩阵表示。如转角

$$[\beta] = \begin{bmatrix} -\frac{1}{R_1} - \frac{s}{R_1} - \frac{s^2}{R_1} - \frac{s^3}{R_1} - \frac{s^4}{R_1} & 0 & 1 \\ 2s & 3s^2 & 4s^3 & 5s^4 \end{bmatrix} [K] \quad (5-1)$$

$$\text{式中 } [K] = [K_1 K_2 \dots K_{11}]^T \quad (5-2)$$

其它 $\left[\frac{d\varphi}{ds}\right], \left[\frac{d\beta}{ds}\right], [\delta_r], [\delta_x], [N_\varphi], \left[\frac{dN_\varphi}{ds}\right], [N_\theta], [M_\varphi], \left[\frac{dM_\varphi}{ds}\right], [M_\theta], [Q_\varphi], \left[\frac{dQ_\varphi}{ds}\right], [P_x], [P_y], [P_r], [P_\varphi]$ 等等都可依次求出,不再赘述。这里需要注意 φ 和 R 也是 s 的函数,它们的微分关系是

$$\frac{d\varphi}{ds} = \frac{1}{R_1} \quad (6-1)$$

$$\frac{dR}{ds} = \cos \varphi \quad (6-2)$$

2.3 列方程式。如把一壳体分成 N 个元素,则有 $11N$ 个待定系数,需列出 $11N$ 个方程式求解。方程组成如下:

2.3.1 平衡方程。每一元素的起点和终点即 $s=0$ 和 $s=s$ 时各列 3 个平衡方程式

$$[P_\varphi] = 0 \quad (7-1)$$

$$[P_r] = p \quad (7-2)$$

$$[P_x] = p_{x_0} \quad (7-3)$$

其中 $[P_x]$ 是由 $[N_\varphi]$ 和 $[Q_\varphi]$ 合成的轴向力阵,用以代替平衡方程中右端项无法确定的 $[Q_\varphi]$ 。

N 个元素共 $6N$ 个方程式。

2.3.2 协调方程。元素连续,节点上位移和内力对应相等。即

$$[\delta_y]_{is} = [\delta_y]_{(i+1)s} \quad (8-1)$$

$$[\delta_x]_{is} = [\delta_x]_{(i+1)s} \quad (8-2)$$

$$[\beta]_{is} = [\beta]_{(i+1)s} \quad (8-3)$$

$$[M_\varphi]_{is} = [M_\varphi]_{(i+1)s} \quad (8-4)$$

$$[P_y]_{is} = [P_y]_{(i+1)s} \quad (8-5)$$

式中 is 表示第 i 个元素 $s=S, (i+1)0$ 表示第 $(i+1)$ 个元素 $s=0$ 。

每个节点可列 5 个方程式, N 个元素共 $5(N-1)$ 个方程式。

2.3.3 边界方程。壳体第一个元素起点和最后一个元素终点各取 $[\delta_y], [P_y], [\beta], [M_\varphi]$ 中任意两个给定已知值,可列 4 个方程式,再在起始点或最终点给定轴向位移为零,即 $[\delta_x] = 0$,共 5 个方程式。

总计 $6N + 5(N-1) + 5 = 11N$ 个方程式,可解 $11N$ 个未知数,满足要求。

2.4 解方程组,配置系数,求内力和应力。按上述方法所列方程为 $11N$ 阶不对称带型方程组。本题所编 SAS 程序把 $[11N \times 11N]$ 系数阵转换为 $[11N \times 26]$ 系数阵,用列主元消去法求解,获得满意结果。

方程解出后,系数配置完毕,各元素位移表达式确定。进而根据需要再把各元素按弧长 s 分成若干小段。可求每段节点上的位移、转角、内力以及应力。每个元素都如此,可求壳体上任意点的位移和内力。

3. 几种特殊结构的处理

3.1 部分特殊元素的处理

在某些特殊结构中,部分元素的几何参数可以取负值。如图 2 中第 3 个元素 φ 角取负值,第 2 个元素和第 8 个元素 R_1 取负值。另外,元素 1 不能从轴线算起,否则 $R=0$ 发生奇异算不下去,在这种情况下,给定 R 一个较小值就可以了。

3.2 连接螺栓的处理

二元素之间的连接螺栓受力后产生转角和位移,应在所连接的二元素协调方程中加以考虑。设在 i 和 $(i+1)$ 元素之间有与旋转轴线平行放置的连接螺栓 AB ,结构和受力情况如图 3。 PP 是止扣受的力。 i 和 i' 元素的内力通过左端 A 点传给螺栓又通过右端 B 点和 $(i+1)$ 元素协调。螺栓两端所受弯矩和径向力分别为

$$M_L^E = \frac{2\pi R}{n_L} \left[(M_\varphi)_{i'} + \frac{L}{2} (P_y)_{i'} \right]$$

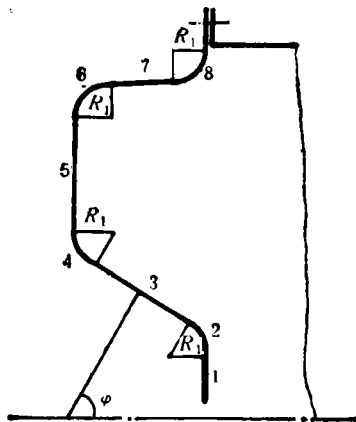


图 2

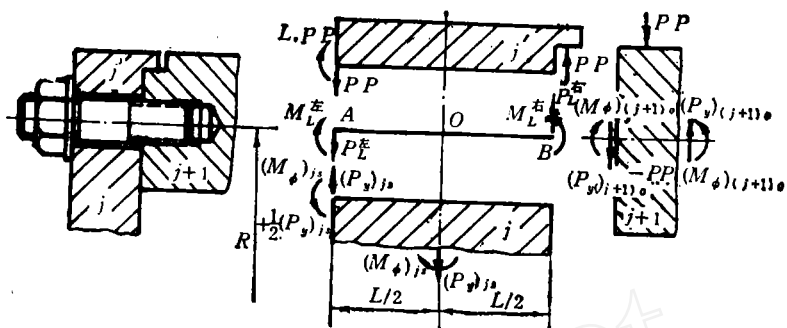


图 3

$$-L \cdot PP \quad (9-1) \quad \text{或}$$

$$P_L^E = \frac{2\pi R}{n_L} [(P_y)_{js} - PP] \quad (9-2)$$

$$M_L^E = \frac{2\pi R}{n_L} [(M_\phi)_{(j+1)0}] \quad (9-3)$$

$$P_L^E = \frac{2\pi R}{n_L} [(P_y)_{(j+1)0} - PP] \quad (9-4)$$

由螺栓平衡求得内力协调关系为

$$[P_y]_{(j+1)0} = [P_y]_{js} \quad (9-5)$$

$$[M_\phi]_{(j+1)0} = [M_\phi]_{js} - \frac{L}{2} [P_y]_{js} \quad (9-6)$$

螺栓受力后 B 点相对 A 点的位移和转角:

$$\delta_L = \frac{2\pi RL^3}{6n_L E_L J_L} \left[3(M_\phi)_{js} + \frac{L}{2} (P_y)_{js} - 2L \cdot PP \right] \quad (9-7)$$

$$\beta_L = \frac{2\pi RL}{n_L E_L J_L} \left[(M_\phi)_{js} - \frac{L}{2} \cdot PP \right] \quad (9-8)$$

有止扣时 $\delta_L = 0$ 可求 PP , 无止扣时 $PP = 0$ 可算 δ_L 和 β_L , 再考虑到 $(\beta)_{js}$ 对 $(\delta_y)_{(j+1)0}$ 的影响, 两种情况下的位移和转角协调关系为:

有止扣时:

$$[\delta_y]_{(j+1)0} = [\delta_y]_{js} + \frac{L}{2} [\beta]_{js} \quad (9-9)$$

$$[\beta]_{(j+1)0} = [\beta]_{js} + \frac{\alpha}{4} R \times \left\{ [M_\phi]_{js} - \frac{L}{2} [P_y]_{js} \right\} \quad (9-10)$$

$$PP = \frac{3}{2L} (M_\phi)_{js} + \frac{1}{4} (P_y)_{js} \quad (9-11)$$

$$PP = \frac{3}{2L} (M_\phi)_{(j+1)0} + (P_y)_{(j+1)0} \quad (9-12)$$

无止扣时:

$$[\delta_y]_{(j+1)0} = [\delta_y]_{js} - \frac{L}{2} [\beta]_{js} + \frac{\alpha}{2} RL \left\{ [M_\phi]_{js} + \frac{L}{6} [P_y]_{js} \right\} \quad (9-13)$$

$$[\beta]_{(j+1)0} = [\beta]_{js} + \alpha R [M_\phi]_{js} \quad (9-14)$$

$$PP = 0 \quad (9-15)$$

以上式中

$$\alpha = \frac{2\pi L}{n_L E_L J_L} = \frac{128L}{n_L E_L d_L^4} \quad (9-16)$$

其中, L 为螺栓长度; n_L 为螺栓数量; d_L 为螺栓直径; E_L 为弹性模量.

3.3 结合裙的处理

结合裙和壳体连接是三个元素汇集在一点, 如按三元素协调必然增加方程组带宽, 不是好办法. 现按解析法处理. 设在 K 和 $(K+1)$ 元素之间有一圆柱形裙 AB (图 4), 把裙分离出

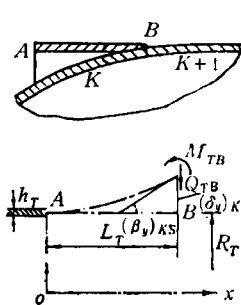


图 4

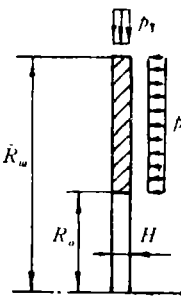


图 5

来, A 点为自由端, $M_{TA} = 0$, $Q_{TA} = 0$, B 点受壳体变形影响产生径向位移 $(\delta_y)_{K_i}$, 转角 $(\beta)_{K_i}$, 把这四个边界条件代入圆柱壳弯曲挠度方程

$$w_T(x) = e^{-\beta x} (C_1 \cos \beta x + C_2 \sin \beta x) + e^{\beta x} (C_3 \cos \beta x + C_4 \sin \beta x) \quad (10-1)$$

$$\beta_T(x) = \frac{dw_T(x)}{dx} \quad (10-2)$$

$$M_T(x) = D_T \frac{d^2 w_T(x)}{dx^2} \quad (10-3)$$

$$Q_T(x) = D_T \frac{d^3 w_T(x)}{dx^3} \quad (10-4)$$

求得 B 点的弯矩和剪力分别是

$$M_{TB} = M_D(\delta_y)_{K_i} + M_B(\beta)_{K_i} \quad (11-1)$$

$$Q_{TB} = Q_D(\delta_y)_{K_i} + Q_B(\beta)_{K_i} \quad (11-2)$$

式中

$$\beta = \sqrt{\frac{3(1-\mu_T)}{R_T^2 h_T^3}} \quad (11-3)$$

$$D_T = \frac{E_T h_T^3}{12(1-\mu_T^2)} \quad (11-4)$$

$$M_D = -2D_T \beta^2 [e^{2\beta L_T} + e^{-2\beta L_T} - 2 \cos 2\beta L_T] / FM \quad (11-5)$$

$$M_B = 2D_T \beta [e^{2\beta L_T} - e^{-2\beta L_T} - 2 \sin 2\beta L_T] / FM \quad (11-6)$$

$$Q_D = 4D_T \beta^3 [-e^{2\beta L_T} + e^{-2\beta L_T} - 2 \sin 2\beta L_T] / FM \quad (11-7)$$

$$Q_B = 2D_T \beta^3 [e^{2\beta L_T} + e^{-2\beta L_T} - 2 \cos 2\beta L_T] / FM \quad (11-8)$$

$$FM = e^{2\beta L_T} + e^{-2\beta L_T} + 2(2 + \cos 2\beta L_T) \quad (11-9)$$

其中, R_T 为裙半径; h_T 为裙壁厚; L_T 为裙宽度; E_T , μ_T 为裙材料弹性模量, 波桑比。

元素 K 和 $(K+1)$ 之间协调方程变为

$$[M_\varphi]_{(K+1)0} = [M_\varphi]_{K_i} + M_D[\delta_y]_{K_i} + M_B[\beta]_{K_i} \quad (12-1)$$

$$[F_y]_{(K+1)0} = [P_y]_{K_i} - Q_D[\delta_y]_{K_i} - Q_B[\beta]_{K_i} \quad (12-2)$$

4. 计算实例

例 1 受轴向压力 $p = 10 \times 10^5 \text{ Pa}$ 和径向向外压 $p_1 = 10P$ 的圆环板(图 5)。外径 $R_w = 145 \text{ cm}$, 内径 $R_i = 25 \text{ cm}$, 壁厚 $H = 3.6 \text{ cm}$, 边界条件: $R = R_i$ 时, $M_\varphi = 0$, $P_y = 0$; $R = R_w$ 时, $w = 0$, $\beta = 0$, $P_y = -p_1 H$ 。分 4 个元素计算, 结果见表 1。最大误差 2.9%。

例 2 受边界效应影响的圆柱筒。筒径 $\phi 160 \text{ cm}$, 壁厚 2.6 cm , 受内压 $35 \times 10^5 \text{ Pa}$ 。边界条件: 左端厚堵盖连接, $\delta_y = 0$, $\beta = 0$, 右端

表 1 圆环板应力 (10^5 Pa)

$R(\text{cm})$		25	50	85	125	145
σ_r	解析法值	0	3320.41	279.43	-7101.97	-12057.57
	本法值	0	3320.97	280.25	-7101.56	-12057.20
	误差%		-0.017	-0.29	-0.0058	0.0031
σ_θ	解析法值	11637.32	6799.40	3728.73	-803.14	-3693.40
	本法值	11634.62	6798.58	3728.58	-803.08	-3693.29
	误差%	0.023	0.012	0.0040	0.0075	0.0030

表 2 圆柱筒边界效应引起的弯矩 ($\text{N} \cdot \text{m}/\text{cm}$)

距左端距离 $x(\text{cm})$	0	4	13	23	33.5
解析法值	186.991	76.927	-30.209	-31.742	-9.162
本法值	187.150	77.356	-30.336	-32.033	-9.108
误差%	-0.085	-0.56	-0.42	-0.92	0.59

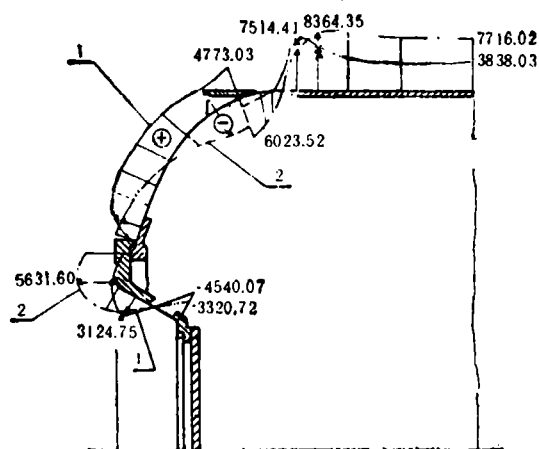


图 6

1 为母线方向应力 (10^5Pa) 2 为环向应力 (10^5Pa)
 × 为母线方向实测应力, ▲ 为环向实测应力

$M_\phi = 0, \beta = 0, \delta_r = 0$. 在长度 45cm 范围内分 9 个元素计算, 所得弯矩值列于表 2 中. 可以看出, 误差都在 1% 以下.

例 3 倒锥壳、平法兰、椭球封头、圆柱壳组合结构应力分析. 图 6, 分 23 个元素, 考虑螺栓连接和裙部结构. 算得应力分布曲线绘制在图 6 上. 螺栓连接处平法兰转角 -0.83° , 与水压试验实测值 -0.85° 基本一致.

参 考 文 献

- [1] Nichols, R. W., Developments in Stress Analysis for Pressurized Components, Applied Science Publishers LTD, LONDON (1977).

(本文于 1985 年 3 月 14 日收到)

一立方米爆炸泄压试验和它的实用价值

王宝兴 裴惠芬 杜兰平 胡英年 (天津消防科学研究所)

摘要 本文介绍了 1 米³爆炸泄压试验情况, 并测得了泄压过程中的最高压力峰 P_3 .

关键词 爆炸泄压, 压力峰.

指出声动火焰不稳定性也可能是一个重要的原因. 值得强调的是 Vanwingerden 和 Zeeuwen^[4]

关于爆炸泄压以前的研究大多采用小容积容器, 例如, Bradley 和 Mitcheson^[1] 根据小容积试验研究提出了“爆炸泄压安全性推荐意见”. 其将小容积试验数据推广到大容积(实际容积)的依据是“立方体规律”, 即认为有泄压口的容器的泄放爆炸压力(超压) P , 对于同种可燃混气, 在立方体(长细比小于 3)的容器内, 只和参数 $A/V^{2/3}$ 有关 (A 为泄压口面积, V 为容器或建筑物的容积, $A/V^{2/3}$ 通称为比例泄压面积).

然而近年的大容积试验^[2] 指出, 在同样的 $A/V^{2/3}$ 情况下, 小容积的 P 比大容积试验的 P 小(图 1).

图 1 所示的这种差异一般都归因于流动产生的紊流度和 Taylor 不稳定性, Zalosh^[3] 曾

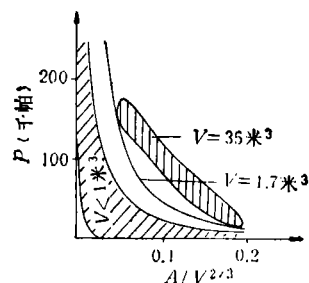


图 1 不同容积的试验容器测得的 P 与 $A/V^{2/3}$ 的关系^[2]

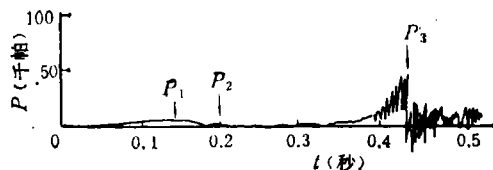


图 2 5.2 米³爆炸泄压试验容器内测得的 $P-t$ 曲线^[4]